

Figura 1. Exemplo de imagens em inspiração e expiração na doença com acentuação bronquiolicêntrica. A atenuação em mosaico e a retenção aérea à expiração são marcadores que favorecem a doença no contexto de DIP fibrosantes.

Results

Right-Left-Ratio: 1.05913

Par.	Unit	Lung	Right	Left	RUL	RML	RUL+	RLL	LUL	LLi	LUL+	LLL
Vol.	[cm³]	1988	1023	965	506	219	725	297	671	5	676	290
Vol.E-	[cm³]	0	0	0	0	0	0	0	0	0	0	0
EI~	[%]	0	0	0	0	0	0	0	0	0	0	0
BI	[-]	0	0	0	0	0	0	0	0	0	0	0
ET1	[-]	6	6	7	0	1	1	0	7	0	7	0
ET2	[%]	79	150	85	0	0	0	0	85	0	85	0
ET3	[%]	1	0	1	0	0	0	0	1	0	1	0
GGOI	[%]	34	34	34	45	32	41	17	41	6	41	20
FIBI	[%]	56	56	57	45	48	46	80	49	89	49	75
MLD	[HU]	-576	-578	-573	-625	-597	-617	-485	-606	-393	-604	-501
MLD<-200	[HU]	-658	-658	-659	-693	-691	-692	-569	-684	-501	-683	-599
MLD<-500	[HU]	-726	-729	-722	-742	-758	-747	-672	-738	-648	-738	-678
P0th	[HU]	-1024	-1024	-1015	-981	-1000	-1000	-1024	-1007	-937	-1007	-1015
P5th	[HU]	-834	-839	-830	-835	-864	-846	-782	-837	-754	-837	-780
P10th	[HU]	-816	-820	-812	-821	-848	-829	-757	-821	-707	-821	-759
P15th	[HU]	-802	-807	-797	-811	-835	-818	-737	-809	-668	-809	-741
P20th	[HU]	-789	-794	-784	-802	-823	-807	-716	-798	-635	-798	-726
P25th	[HU]	-776	-781	-771	-793	-812	-797	-695	-788	-590	-788	-710
P30th	[HU]	-762	-767	-758	-784	-801	-787	-672	-778	-553	-777	-693
P35th	[HU]	-747	-752	-743	-774	-787	-777	-646	-767	-516	-766	-674
P40th	[HU]	-730	-734	-726	-763	-772	-765	-617	-754	-483	-753	-653
P45th	[HU]	-710	-713	-707	-750	-753	-751	-584	-739	-443	-739	-628
P50th	[HU]	-685	-686	-684	-735	-730	-734	-547	-722	-406	-721	-598
P55th	[HU]	-655	-654	-655	-716	-698	-712	-507	-699	-363	-698	-563
P60th	[HU]	-617	-613	-620	-691	-654	-683	-464	-669	-320	-667	-520
P65th	[HU]	-569	-563	-575	-657	-597	-643	-417	-630	-279	-627	-467
P70th	[HU]	-508	-501	-516	-612	-522	-589	-366	-578	-244	-574	-405
P75th	[HU]	-434	-428	-440	-548	-432	-516	-310	-506	-195	-501	-331
P80th	[HU]	-343	-343	-344	-460	-329	-419	-249	-408	-151	-403	-248
P85th	[HU]	-238	-244	-231	-340	-215	-297	-182	-283	-108	-279	-158
P90th	[HU]	-130	-139	-121	-188	-121	-158	-107	-148	-56	-146	-75
P95th	[HU]	-32	-40	-25	-64	-18	-48	-27	-40	-7	-40	-5
P100th	[HU]	1136	1136	1070	1136	997	1136	903	1070	136	1070	1001
Vol.R0	[cm³]	0	0	0	0	0	0	0	0	0	0	0
R0I	[%]	0	0	0	0	0	0	0	0	0	0	0
Vol.R1	[cm³]	1	0	1	0	0	0	0	1	0	1	0
R1I	[%]	0	0	0	0	0	0	0	0	0	0	0
Vol.R2	[cm³]	0	0	0	0	0	0	0	0	0	0	0
R2I	[%]	0	0	0	0	0	0	0	0	0	0	0
Vol.R3	[cm³]	34	22	12	6	16	22	0	12	0	12	0
R3I	[%]	2	2	1	1	7	3	0	2	0	2	0
Vol.R4	[cm³]	34	22	12	6	16	22	0	12	0	12	0
R4I	[%]	2	2	1	1	7	3	0	2	0	2	0
Vol.R5	[cm³]	935	487	449	296	120	416	71	368	0	368	81
R5I	[%]	47	48	47	58	55	57	24	55	10	54	28
Vol.V	[cm³]	43	20	24	11	3	14	6	12	0	12	11
Vol.V-500	[cm³]	43	20	24	11	3	14	6	12	0	12	11
Vol.VP	[cm³]	9	5	4	1	2	3	2	1	0	1	3
Vol.V-500P	[cm³]	9	5	4	1	2	3	2	1	0	1	3

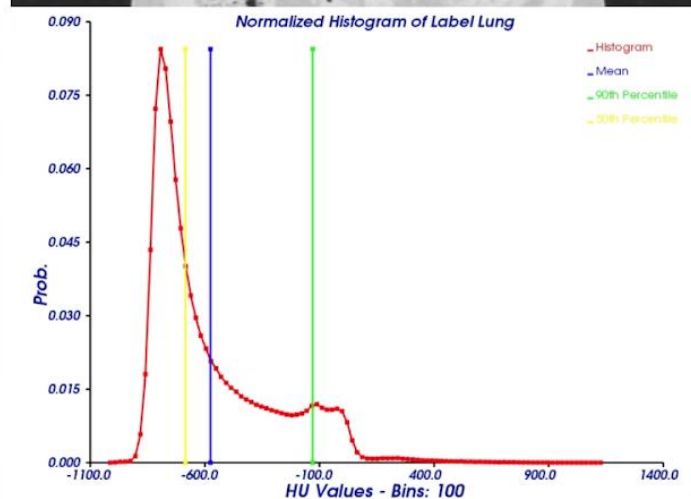


Figura 2. Exemplo do relatório fornecido após a avaliação quantitativa realizada pelo software Yacta demonstrando as quantificações (esquerda) uma reconstrução visual no plano coronal (superior direita) de exame de TC com as opacidades em vidro fosco (em laranja) e as reticulações (vermelho) detectadas no exame. Adicionalmente, o software também disponibiliza histograma da distribuição dos coeficientes de atenuação do pulmão (inferior à direita).

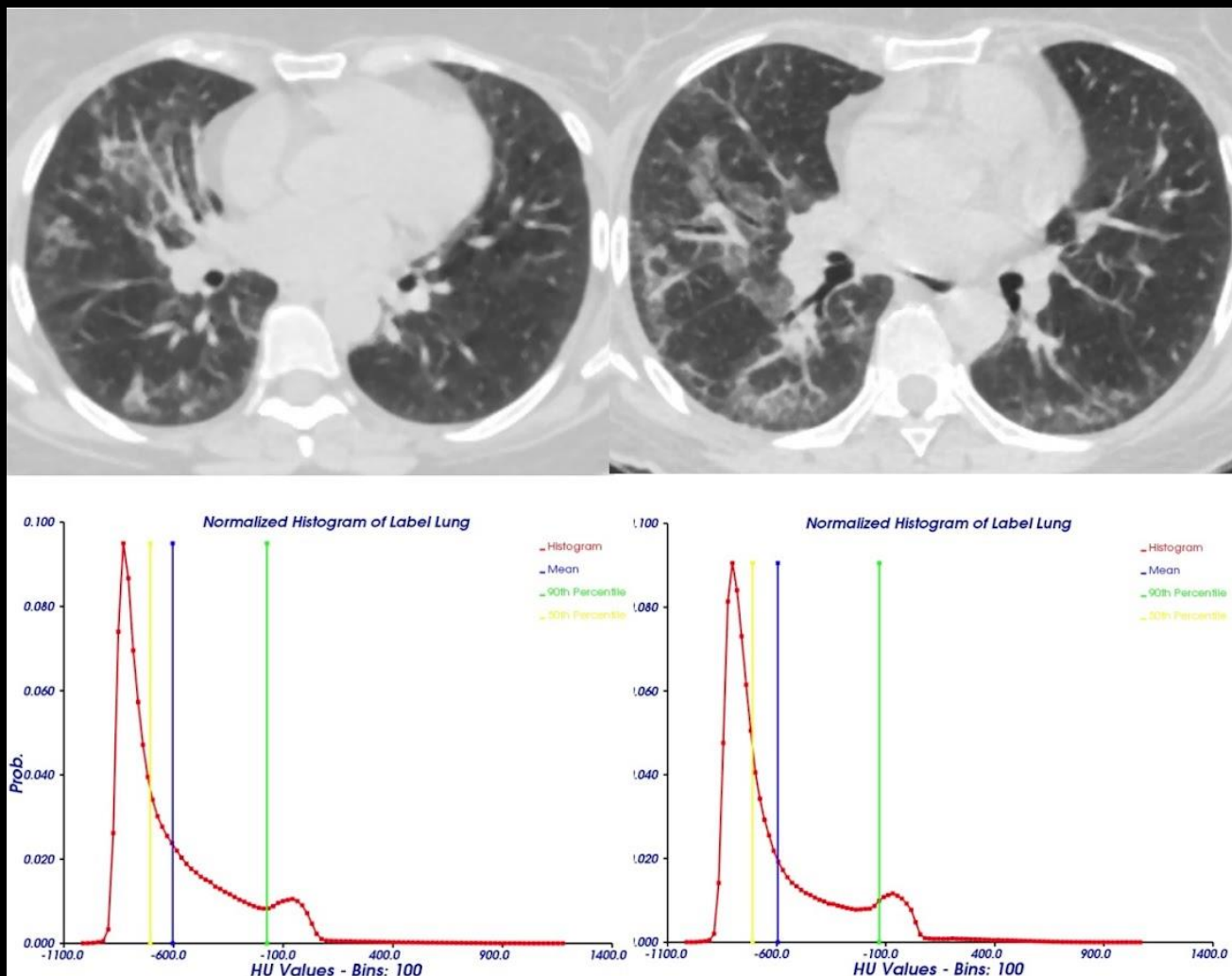


Figura 4. Exemplo de paciente com progressão sutil em exames de TC com um intervalo de 869 dias. A avaliação quantitativa demonstra a redução do volume pulmonar (de 2830 cm³ para 2420 cm³ no exame de seguimento) e também o aumento do p90 (de -174 uH para -130 uH).